

Factorisation Quantique

journées scientifiques,
université de Toulon,
Avril 2015.

Philippe Langevin

IMATH, université de Toulon

last revision 21 avril 2015.

Une introduction à l'algorithme de factorisation de Peter Shor (1997)

- 1 Factorisation des entiers
- 2 Machine à calculer
- 3 Réduction classique
- 4 Règles du jeu quantique
- 5 Registre quantique
- 6 classique \rightarrow quantique
- 7 Algorithme de Shor

Sommaire

- 1 Factorisation des entiers
- 2 Machine à calculer
- 3 Réduction classique
- 4 Règles du jeu quantique
- 5 Registre quantique
- 6 classique \rightarrow quantique
- 7 Algorithme de Shor

Factorisation classique

fait

L'algorithme du crible algébrique factorise un entier de t bits en

$$O(\exp(ct^\alpha \log^{1-\alpha} t)) \text{ étapes,}$$

avec $c \leq 1.93$, $\alpha \leq \frac{1}{3}$, complexité sous-exponentielle.

dernier record :

Factorisation classique

fait

L'algorithme du crible algébrique factorise un entier de t bits en

$$O(\exp(ct^\alpha \log^{1-\alpha} t)) \text{ étapes,}$$

avec $c \leq 1.93$, $\alpha \leq \frac{1}{3}$, complexité sous-exponentielle.

dernier record :

- RSA-768 = pq , p et q premiers.
- $\log(p) = \log(q) = 334$, soit 116 chiffres décimaux.

Décembre 2009

L'équipe CACAO (CAMEL) de l'Inria et ses partenaires suisses, japonais, hollandais et allemands ont réussi à factoriser une clé RSA de 768 bits !

```
1230186684530117755130494958384962720772853569595334792197322
4521517264005072636575187452021997864693899564749427740638459
2519255732630345373154826850791702612214291346167042921431160
2221240479274737794080665351419597459856902143413.
```

- 425 PC quadri-coeurs pendant un an.
- 5 Tera-octets.

Thorsten Kleinjung (1), Kazumaro Aoki (2), Jens Franke (3), Arjen K. Lenstra (1), Emmanuel Thomé (4), Joppe W. Bos (1), Pierrick Gaudry (4), Alexander Kruppa (4), Dag Arne Osvik (1), Peter. L. Montgomery (5,6), Herman te Riele (6), Andrey Timofeev (6), and Paul Zimmermann (4)

1 :EPFL ; 2 :NTT ; 3 :Bonn univ ; 4 :INRIA ; 5 :MS Research ; 6 :CWI

Factorisation quantique

fait

L'algorithme quantique de Shor factorise un entier de t bits en

$$\tilde{O}(t^2) \text{ étapes,}$$

complexité polynomiale en temps (et porte quantique).

1996 *Polynomial-Time Algorithm for Prime Factorisation and Discrete Logarithm on a Quantum Computer*

dernier record ?

Factorisation quantique

fait

L'algorithme quantique de Shor factorise un entier de t bits en

$$\tilde{O}(t^2) \text{ étapes,}$$

complexité polynomiale en temps (et porte quantique).

1996 *Polynomial-Time Algorithm for Prime Factorisation and Discrete Logarithm on a Quantum Computer*

dernier record ?

$$21 = 3 \times 7$$

Sommaire

- 1 Factorisation des entiers
- 2 Machine à calculer**
- 3 Réduction classique
- 4 Règles du jeu quantique
- 5 Registre quantique
- 6 classique \rightarrow quantique
- 7 Algorithme de Shor

Machine



Machine



La machine de Lord Kelvin.

Alan Turing Project

3. A. M. Turing.....£40.

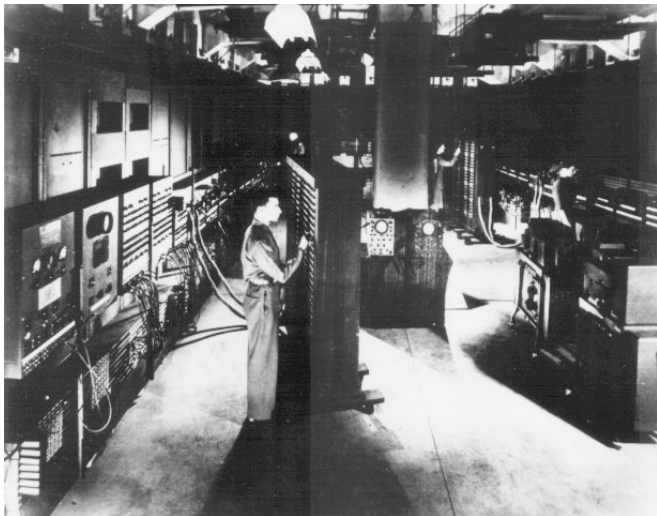
King's College,
Cambridge.

24 March 1939.

"1. It is proposed to make calculations of the Riemann zeta-function on the critical line for $1,450 < t < 6,000$ with a view to discovering whether all the zeros of the function in this range of t lie on the critical line. An investigation for $0 < t < 1,464$ has already been made by Titchmarsh. The most laborious part of such calculations consists in the evaluation of certain trigonometrical sums

$$\sum_{r=1}^m \frac{1}{\sqrt{r}} \cos (t \log r - \theta) \quad m = \left[\sqrt{\frac{t}{2\pi}} \right]$$

ENIAC



giant brain (1946) : 160 m², 30 tonnes ...

factorisation quantique

- 1980 une idée de Youri Manin
 - 1982 Paul Benioff, Richard Feynman
 - 1985 machine de Turing quantique, David Deutsch.
 - ...
 - 1994 algorithmes de Peter Shor.
 - ...
 - 2001 factorisation du nombre 15
 - 2012 factorisation du nombre 21
- Le calcul quantique adiabatique : 143, 56153

Sommaire

- 1 Factorisation des entiers
- 2 Machine à calculer
- 3 Réduction classique**
- 4 Règles du jeu quantique
- 5 Registre quantique
- 6 classique \rightarrow quantique
- 7 Algorithme de Shor

réduction algorithmique

factorisation de 21

- Détermination de période.

réduction algorithmique

factorisation de 21

- Détermination de période.

$$5^0 \quad 5^1 \quad 5^2 \quad 5^3 \quad 5^4 \quad 5^5 \quad 5^6 \quad 5^7$$

réduction algorithmique

factorisation de 21

- Détermination de période.

5^0	5^1	5^2	5^3	5^4	5^5	5^6	5^7
1	5	25	125	625	3125	15625	78125

réduction algorithmique

factorisation de 21

- Détermination de période.

	5^0	5^1	5^2	5^3	5^4	5^5	5^6	5^7
	1	5	25	125	625	3125	15625	78125
mod 21	1	5	4	20	16	17	1	5

réduction algorithmique

factorisation de 21

- Détermination de période.

	5^0	5^1	5^2	5^3	5^4	5^5	5^6	5^7
	1	5	25	125	625	3125	15625	78125
mod 21	1	5	4	20	16	17	1	5

Théorème (Euler)

si $(x, n) = 1$ alors l'ordre de x est un diviseur de $\phi(n)$.

réduction algorithmique

factorisation de 21

- Détermination de période.

	5^0	5^1	5^2	5^3	5^4	5^5	5^6	5^7
	1	5	25	125	625	3125	15625	78125
mod 21	1	5	4	20	16	17	1	5

Théorème (Euler)

si $(x, n) = 1$ alors l'ordre de x est un diviseur de $\phi(n)$.

- choisir x au hasard, x premier avec n .
- calculer la période de $x^k \pmod{n}$
- k est un diviseur de $\phi(n)$

racine de l'unité

fait

Si $N = pq$ alors l'équation

$$X^2 = 1 \pmod{N}$$

possède 4 solutions : ± 1 , plus deux non triviales.

racine de l'unité

fait

Si $N = pq$ alors l'équation

$$X^2 = 1 \pmod{N}$$

possède 4 solutions : ± 1 , plus deux non triviales.

$$y \neq \pm 1 \implies 0, N \neq \text{pgcd}(y - 1, N) \mid N$$

racine de l'unité

fait

Si $N = pq$ alors l'équation

$$X^2 = 1 \pmod{N}$$

possède 4 solutions : ± 1 , plus deux non triviales.

$$y \neq \pm 1 \implies 0, N \neq \text{pgcd}(y - 1, N) \mid N$$

fait

Si la période r de x est paire alors

$$y := x^{\frac{r}{2}} \implies y^2 = 1.$$

racine de l'unité

fait

Si $N = pq$ alors l'équation

$$X^2 = 1 \pmod{N}$$

possède 4 solutions : ± 1 , plus deux non triviales.

$$y \neq \pm 1 \implies 0, N \neq \text{pgcd}(y - 1, N) \mid N$$

fait

Si la période r de x est paire alors

$$y := x^{\frac{r}{2}} \implies y^2 = 1.$$

probabilité de succès > 0.25

facteurs de 21

	5^0	5^1	5^2	5^3	5^4	5^5	5^6	5^7
mod 21	1	5	4	20	16	17	1	5

facteurs de 21

	5^0	5^1	5^2	5^3	5^4	5^5	5^6	5^7
mod 21	1	5	4	20	16	17	1	5

$$5^6 = 1, \quad 5^3 - 1 = 19, \quad \text{pgcd}(19, 21) = 1.$$

facteurs de 21

	5^0	5^1	5^2	5^3	5^4	5^5	5^6	5^7
mod 21	1	5	4	20	16	17	1	5

$$5^6 = 1, \quad 5^3 - 1 = 19, \quad \text{pgcd}(19, 21) = 1.$$

	2^0	2^1	2^2	2^3	2^4	2^5	2^6	2^7
mod 21	1	2	4	8	16	11	1	2

facteurs de 21

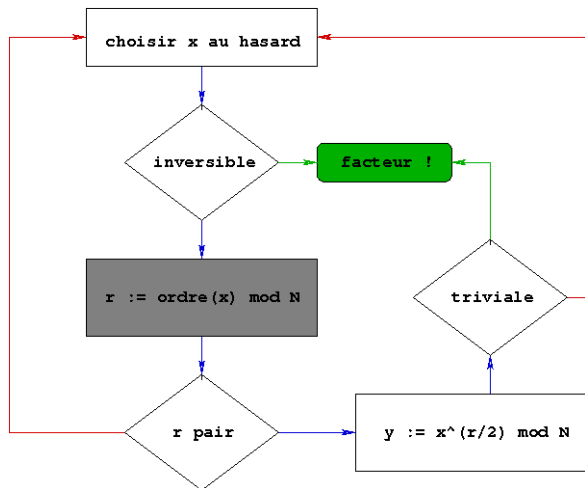
	5^0	5^1	5^2	5^3	5^4	5^5	5^6	5^7
mod 21	1	5	4	20	16	17	1	5

$$5^6 = 1, \quad 5^3 - 1 = 19, \quad \text{pgcd}(19, 21) = 1.$$

	2^0	2^1	2^2	2^3	2^4	2^5	2^6	2^7
mod 21	1	2	4	8	16	11	1	2

$$2^6 = 1, \quad 2^3 - 1 = 7, \quad \text{pgcd}(7, 21) = 7.$$

réduction



$$y^2 - 1 \equiv 0 \equiv (y - 1)(y + 1) \implies \text{pgcd}(y - 1, n) \mid N$$

Sommaire

- 1 Factorisation des entiers
- 2 Machine à calculer
- 3 Réduction classique
- 4 Règles du jeu quantique**
- 5 Registre quantique
- 6 classique \rightarrow quantique
- 7 Algorithme de Shor

périphérique de calcul quantique

$$\frac{1}{\sqrt{2}} |\text{chat assis}\rangle + \frac{1}{\sqrt{2}} |\text{chat couché}\rangle$$

périphérique de calcul quantique

$$\frac{1}{\sqrt{2}} |\text{chat assis}\rangle + \frac{1}{\sqrt{2}} |\text{chat couché}\rangle$$

- superposition
- mesure
- évolution

superposition des états

On note $|1\rangle, |2\rangle, \dots, |N\rangle$ une base orthonormale de \mathbb{C}^N .

Les $|i\rangle$ sont les états observables et tout vecteur de norme 1 représente un état quantique.

$$|\psi\rangle = \sum_{i=1}^N \alpha_i |i\rangle, \quad \sum_{i=1}^N |\alpha_i|^2 = 1.$$

- $|\psi\rangle$ est une superposition des $|i\rangle$.

mesure

On ne peut pas voir un état quantique mais on peut l'observer par une mesure

$$|\psi\rangle = \sum_{i=1}^N \alpha_i |i\rangle, \quad \sum_{i=1}^N |\alpha_i|^2 = 1.$$

"projette" $|\psi\rangle$ sur un des états $|j\rangle$.

$$\forall j, \quad |\alpha_j|^2 = \text{Prob}(\text{mes}(|\psi\rangle)) \rightsquigarrow j$$

- observation \implies modification
- projection orthogonale

Evolution

Les évolutions d'un système quantique sont décrites par des transformations unitaires i.e.

$$UU^* = I, \quad U^{-1} = U^*, \quad \text{matrice unitaire.}$$

- conservation des normes

Sommaire

- 1 Factorisation des entiers
- 2 Machine à calculer
- 3 Réduction classique
- 4 Règles du jeu quantique
- 5 Registre quantique**
- 6 classique \rightarrow quantique
- 7 Algorithme de Shor

qubit

Un bit quantique est un vecteur de norme 1 dans $\mathfrak{H} := \mathbb{C} \times \mathbb{C}$,

$$|\psi\rangle = \alpha |0\rangle + \beta |1\rangle, \quad |\alpha|^2 + |\beta|^2 = 1.$$

qubit

Un bit quantique est un vecteur de norme 1 dans $\mathfrak{H} := \mathbb{C} \times \mathbb{C}$,

$$|\psi\rangle = \alpha |0\rangle + \beta |1\rangle, \quad |\alpha|^2 + |\beta|^2 = 1.$$

Un registre de n -qubits est un vecteur de norme 1 dans $\mathfrak{H} \otimes \mathfrak{H} \otimes \cdots \otimes \mathfrak{H}$,

$$\begin{aligned} |\psi\rangle &= \sum_{x \in \{0,1\}^n} \alpha_x |x\rangle \\ &= \sum_{x=0}^{2^n-1} \alpha_x |x\rangle \end{aligned}$$

- Un registre de n -qubits superpose 2^n observables.
- Deux groupes d'ordre Q : \mathbb{F}_2^m , $\mathbb{Z}/Q\mathbb{Z}$.

Evolution du registre

$$(u, v) \mapsto (u + v) \pmod{Q}, \quad (u, v) \mapsto u \oplus v, \quad Q := 2^n.$$

Evolution du registre

$$(u, v) \mapsto (u + v) \pmod{Q}, \quad (u, v) \mapsto u \oplus v, \quad Q := 2^n.$$

La transformée de Fourier discrète

$$F: |y\rangle \mapsto \sum_{x=0}^{Q-1} \zeta_Q^{xy} |x\rangle, \quad \zeta_Q := \exp(2i\pi/Q)$$

Evolution du registre

$$(u, v) \mapsto (u + v) \pmod{Q}, \quad (u, v) \mapsto u \oplus v, \quad Q := 2^n.$$

La transformée de Fourier discrète

$$F: |y\rangle \mapsto \sum_{x=0}^{Q-1} \zeta_Q^{xy} |x\rangle, \quad \zeta_Q := \exp(2i\pi/Q)$$

La transformée de Fourier-Hadamard-Walsh

$$H: |y\rangle \mapsto \frac{1}{\sqrt{Q}} \sum_{x=0}^{Q-1} (-1)^{x \cdot y} |x\rangle$$

Evolution du registre

$$(u, v) \mapsto (u + v) \pmod{Q}, \quad (u, v) \mapsto u \oplus v, \quad Q := 2^n.$$

La transformée de Fourier discrète

$$F: |y\rangle \mapsto \sum_{x=0}^{Q-1} \zeta_Q^{xy} |x\rangle, \quad \zeta_Q := \exp(2i\pi/Q)$$

La transformée de Fourier-Hadamard-Walsh

$$H: |y\rangle \mapsto \frac{1}{\sqrt{Q}} \sum_{x=0}^{Q-1} (-1)^{x \cdot y} |x\rangle$$

en particulier

$$H|00 \dots 0\rangle = \frac{1}{\sqrt{Q}} \sum_{x=0}^{Q-1} |x\rangle$$

Sommaire

- 1 Factorisation des entiers
- 2 Machine à calculer
- 3 Réduction classique
- 4 Règles du jeu quantique
- 5 Registre quantique
- 6 classique \rightarrow quantique**
- 7 Algorithme de Shor

porte logique

NON

$$|0\rangle \mapsto |1\rangle, \quad |1\rangle \mapsto |0\rangle, \quad |x\rangle \mapsto |\bar{x}\rangle \quad \begin{pmatrix} 0 & 1 \\ 1 & 0 \end{pmatrix}$$

XOR

$$|x\rangle \otimes |y\rangle \mapsto |x\rangle \otimes |x \oplus y\rangle$$

$$\begin{pmatrix} 1 & 0 & 0 & 0 \\ 0 & 1 & 0 & 0 \\ 0 & 0 & 0 & 1 \\ 0 & 0 & 1 & 0 \end{pmatrix}$$

porte logique

NON

$$|0\rangle \mapsto |1\rangle, \quad |1\rangle \mapsto |0\rangle, \quad |x\rangle \mapsto |\bar{x}\rangle \quad \begin{pmatrix} 0 & 1 \\ 1 & 0 \end{pmatrix}$$

XOR

$$|x\rangle \otimes |y\rangle \mapsto |x\rangle \otimes |x \oplus y\rangle$$

$$\begin{pmatrix} 1 & 0 & 0 & 0 \\ 0 & 1 & 0 & 0 \\ 0 & 0 & 0 & 1 \\ 0 & 0 & 1 & 0 \end{pmatrix}$$

$$H = \frac{1}{\sqrt{2}} \begin{pmatrix} 1 & 1 \\ 1 & -1 \end{pmatrix}, \quad P_X = \begin{pmatrix} 0 & i \\ -i & 0 \end{pmatrix}, \quad R_\theta = \begin{pmatrix} 1 & 0 \\ 0 & e^{i\theta} \end{pmatrix}$$

porte logique

NON

$$|0\rangle \mapsto |1\rangle, \quad |1\rangle \mapsto |0\rangle, \quad |x\rangle \mapsto |\bar{x}\rangle \quad \begin{pmatrix} 0 & 1 \\ 1 & 0 \end{pmatrix}$$

XOR

$$|x\rangle \otimes |y\rangle \mapsto |x\rangle \otimes |x \oplus y\rangle$$

$$\begin{pmatrix} 1 & 0 & 0 & 0 \\ 0 & 1 & 0 & 0 \\ 0 & 0 & 0 & 1 \\ 0 & 0 & 1 & 0 \end{pmatrix}$$

$$H = \frac{1}{\sqrt{2}} \begin{pmatrix} 1 & 1 \\ 1 & -1 \end{pmatrix}, \quad P_X = \begin{pmatrix} 0 & i \\ -i & 0 \end{pmatrix}, \quad R_\theta = \begin{pmatrix} 1 & 0 \\ 0 & e^{i\theta} \end{pmatrix}$$

- Hadamard, Pauli, changement de phase ...
- QFT : $O(n^2)$ portes quantiques.

Exponentiation modulaire

```
Exponentiation( x, t, n : nombre )
```

```
variable
```

```
    y : nombre
```

```
debut
```

```
    y ← 1
```

```
    tant que ( t > 0 )
```

```
        si impair( n ) alors
```

```
            y ← y * x mod n
```

```
        fsi
```

```
        t ← t div 2
```

```
        x ← x * x mod n
```

```
    ftq
```

```
    retourner y
```

```
fin
```

exponentielle en parallèle! ?

$$f(x) = y^x \pmod N$$

Shor décrit une transformation unitaire E polynomiale qui envoie

$$E: |x\rangle |0\rangle \mapsto |x\rangle |f(x)\rangle$$

en particulier

$$\frac{1}{\sqrt{Q}} \sum_{x=0}^{Q-1} |x\rangle |0\rangle \mapsto \frac{1}{\sqrt{Q}} \sum_{x=0}^{Q-1} |x\rangle |f(x)\rangle$$

Une observation révèle **une** des images de f

exponentielle en parallèle! ?

$$f(x) = y^x \pmod N$$

Shor décrit une transformation unitaire E polynomiale qui envoie

$$E: |x\rangle |0\rangle \mapsto |x\rangle |f(x)\rangle$$

en particulier

$$\frac{1}{\sqrt{Q}} \sum_{x=0}^{Q-1} |x\rangle |0\rangle \mapsto \frac{1}{\sqrt{Q}} \sum_{x=0}^{Q-1} |x\rangle |f(x)\rangle$$

Une observation révèle **une** des images de f

mais détruit **toutes** les autres !

Sommaire

- 1 Factorisation des entiers
- 2 Machine à calculer
- 3 Réduction classique
- 4 Règles du jeu quantique
- 5 Registre quantique
- 6 classique \rightarrow quantique
- 7 Algorithme de Shor

Algorithme de Shor

$$\begin{array}{ccc}
 |00 \dots 0\rangle |00 \dots 0\rangle & \xrightarrow{H} & \frac{1}{\sqrt{Q}} \sum_{n=0}^{Q-1} |n\rangle |00 \dots 0\rangle \\
 & & \downarrow E \\
 \frac{1}{Q} \sum_{n=0}^{Q-1} \sum_{s=0}^{Q-1} \zeta_Q^{ns} |s\rangle |x^n\rangle & \xleftarrow{F} & \frac{1}{\sqrt{Q}} \sum_{n=0}^{Q-1} |n\rangle |x^n \bmod N\rangle \\
 \text{mes} \downarrow & & \\
 |s\rangle |y\rangle & \xrightarrow{\text{probabilité}} & \frac{1}{Q} \sum_{x^n=y} \zeta_Q^{ns} |^2
 \end{array}$$

- $N^2 \leq Q < 2N^2$
- x d'ordre multiplicatif p .

La probabilité d'observer $|s\rangle|y\rangle$ est égale au carré du module de la somme :

$$\frac{1}{Q} \sum_{x^n=y} \zeta_Q^{ns}$$

Shor montre que si le reste minimal $\{ps\}_Q$ de la division de ps par Q vérifie

$$|\{ps\}_Q| \leq \frac{p}{2}$$

alors la probabilité de l'observable $|s\rangle|y\rangle$ est supérieure à $\frac{1}{3p^2}$.

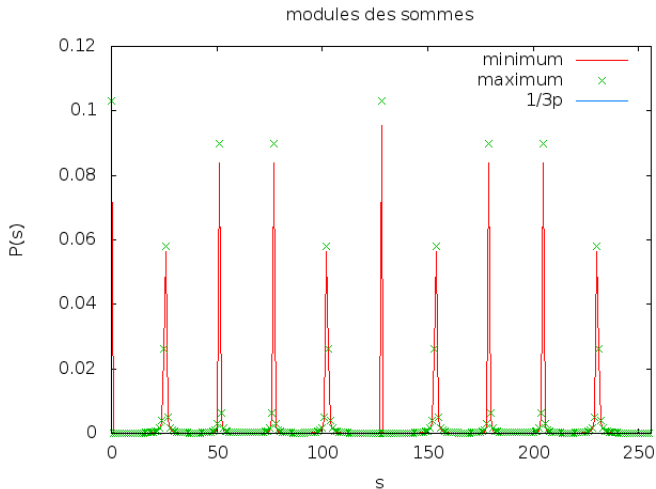


FIGURE : Modules des sommes partielles dans le cas $p = 10$ et $Q = 256$. Les pics se produisent quand $\{sp\}_Q$ est faible. Lorsque le reste minimal $\{ps\}_Q$ est inférieur à $p/2$ le module carré des sommes est minoré par $\frac{1}{3p^2}$

L'hypothèse $N^2 \leq Q < 2N^2$ montre qu'une seule fraction d/p vérifie :

$$0 < \left| \frac{s}{Q} - \frac{d}{p} \right| \leq \frac{1}{2Q}$$

Elle peut être déterminée en temps **polynomial** par une décomposition en fraction continue. Pour chaque entier d **premier** avec p , il existe au moins un s vérifiant

$$|\{ps\}_Q| \leq \frac{p}{2}$$

de sorte que la probabilité de déterminer la période de x est

$$P_{\text{succes}} \geq \frac{\varphi(p)p}{3p^2}$$

car pour chaque s , il y a p observables $|s\rangle |y\rangle$.

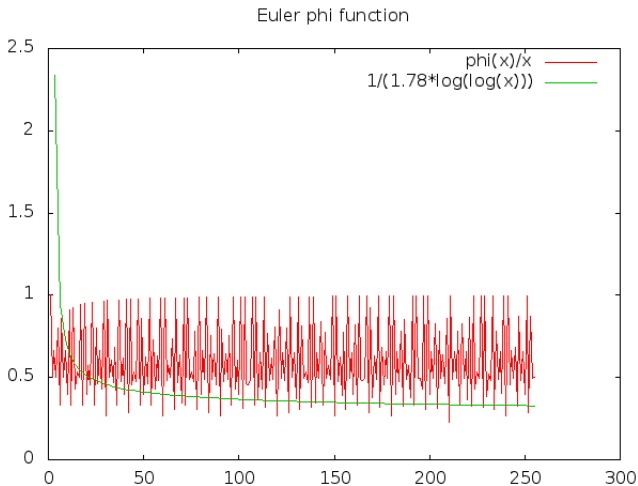


FIGURE : Dans Hardy et Wright, $\liminf \frac{\varphi(n)}{n} \log \log n = e^{-\gamma}$. où $\gamma = 0.577215665\dots$ est la constante d'Euler. $e^{\gamma} = 1.7810724\dots$

On peut montrer que pour $n > 2$,

$$\frac{n}{e^\gamma \log \log n + \frac{3}{\log \log n}} \leq \varphi(n)$$

et pour une infinité de n :

$$\varphi(n) < \frac{n}{e^\gamma \log \log n}$$

$$P_{\text{succes}} \geq \frac{C}{\log \log p}$$

conclusion

On obtient p après $\log \log p$ tentatives.